

## Интерпретация 2D инерциального метода навигации для решения задачи подвижной глубоководной гравиметрии

© А.С. Девятисильный

Институт автоматизации и процессов управления ДВО РАН,  
690041 Владивосток, Россия  
e-mail: devyatys@iacp.dvo.ru

(Поступило в Редакцию 30 апреля 2008 г.)

Предложена модель гравинерциальной системы и выполнено численное исследование эффективности ее использования на глубоководных подвижных аппаратах.

PACS: 04.80.Cc

Известно, что в задаче гравиметрии особое место занимает обследование гравитационных полей (ГЕ-полей) морей и океанов, что в значительной степени обусловлено сугубо практическими целями, связанными с обнаружением и районированием подводных нефтегазовых и иных месторождений. Актуальность задачи становится особенно очевидной при обращении к проблемам разграничения и освоения дна Ледовитого океана. Уже на первых шагах к их разрешению значительная роль была отведена, и как оказалось вполне успешно, глубоководным подводным аппаратам (ГПА).

В настоящей статье представлены результаты исследований по применению метода инерциальной навигации [1] для подводной гравиметрической съемки на малых (до 4 м/с) скоростях, характерных для ГПА. Эти результаты непосредственно связаны с новой, существенно отличающейся от традиционной, интерпретацией двухкомпонентных инерциальных навигационных систем (2D-ИНС).

Итак, рассматривается 2D-ИНС, т.е. ИНС с двумя планарными функциональными ньютонометрами (акселерометрами) на горизонтируемой платформе, традиционный переход к которой от 3D-ИНС реализуется при движении объекта по сфере известного радиуса ( $r = \text{const}$ ) [2]. Принятие такой гипотезы о движении ГПА вполне приемлемо в силу ограниченности географических районов обследования и достаточно высокой точности (до 1 м) измерения глубины. Как известно [2], традиционная организация 2D-ИНС обуславливает неасимптотическую устойчивость (достигаемую благодаря учету информации об  $r$  при формировании значения напряженности ГЕ-поля в модели ИНС) динамической группы уравнений алгоритма ее работы, а если учесть еще и такой же характер устойчивости кинематической группы уравнений (уравнений Пуассона [2]), — устойчивость функционирования всей системы.

В дальнейшем достаточно обращения только к динамической группе уравнений 2D-ИНС, которые могут

быть записаны в виде

$$\begin{aligned} \dot{q}_i &= -e_{ikj}\omega_k q_j + p_i, & q_i(0) &= q_{i,0}, \\ \dot{p}_i &= -e_{ikj}\omega_k p_j + G_i(q) + F_i, & p_i(0) &= p_{i,0}, \quad (1) \\ i &= 1, 2, & j, k &= 1, 3, \end{aligned}$$

где  $e_{ikj}$  — псевдотензор Леви-Чивита;  $q = (q_i)$ ,  $p = (p_i)$ ,  $F = (F_i)$ ,  $\omega = (\omega_i)$ ,  $G = (G_i)$  — в общем случае, т.е. при  $i = \overline{1, 3}$ , векторы соответственно координат, удельных импульсов и сил негравитационной природы, абсолютной угловой скорости вращения приборной платформы и напряженности ГЕ-поля в проекциях на оси жестко связанного с приборной платформой координатного трехгранника. Обозначим его через  $ou = ou_1 u_2 u_3$  и примем, что он является физической моделью географически ориентированного трехгранника, т.е. в идеальном случае его ось  $ou_1$  направлена на Восток,  $ou_2$  — на Север,  $ou_3$  — по вектору  $q$ . Отметим также, что в (1) и далее в статье действует правило суммирования по повторяющимся индексам.

В работе [3] впервые показано, что если при формировании алгоритма 2D-ИНС использовать не только геометрическое условие, т.е.  $|q| = r = \text{const}$ , но и условие равновесного состояния объекта на сфере —  $\dot{p} = 0$ , или

$$\omega_2 p_1 - \omega_1 p_2 + G_3 + F_3 = 0, \quad (2)$$

то это открывает возможность постановки корректной обратной задачи, решение которой при соответствующей конструкции алгоритма динамического обращения асимптотически устойчиво.

Примем, что  $G_3 = G_c + g$ , где  $G_c = \mu/r^2$ ,  $\mu$  — гравитационный параметр Земли, а  $g = g(s)$  отождествляется с аномалией значения напряженности ГЕ-поля как функции пройденного пути  $s$  от начала ( $t_0 = 0$ ) движения объекта вдоль некоторой кривой на сфере. Тогда, ограничиваясь случаем, когда это движение совершается с постоянной относительной скоростью  $v$ , всегда можно иметь в виду, что  $g(s) = g(vt) = g(t)$ . В частности, если  $g(s)$  описывается марковским процессом первого

порядка, т. е.

$$\frac{dg}{ds} = -\lambda_s g + \sqrt{2\lambda_s} \sigma_s u,$$

где  $\lambda_s$  и  $\sigma_s$  — параметры сноса и диффузии, а  $u$  — несмещенный белый шум единичной интенсивности, то, принимая во внимание  $ds = v dt$ , имеем

$$\dot{g} = -\lambda g + \sqrt{2\lambda} \sigma u, \quad g(0) = g_0, \quad (3)$$

где  $\lambda = \lambda_s v$ ,  $\sigma = \sigma_s \sqrt{v}$ . В завершение этого заметим, что модель (3) в качестве идентификационной актуальна и в тех случаях, когда эволюция  $g$  достаточно произвольна.

Далее полагаем, что уравнения (1)–(3) с учетом того, что векторы  $\omega$  и  $F$  измеряются гироскопами и ньютонометрами (одни из которых — вериткальный — выполняет функцию гравиметра) образуют модель обратной задачи, целью решения которой являются оценки текущих значений  $q$ ,  $p$  и  $g$ . После линеаризации эта задача представляется моделью „состояние-измерение“ следующего вида:

$$\sigma \dot{q}_i = -e_{ikj} \omega_k \delta q_j + \delta p_i - e_{ikj} v_k q_j, \quad \delta q_i(0) = \delta q_{i,0},$$

$$\delta \dot{p}_i = -e_{ikj} \omega_k \delta p_j - \omega_0^2 \delta q_i + f_i - e_{ikj} v_k p_j, \quad \delta p_i(0) = \delta p_{i,0},$$

$$\dot{g} = -\lambda g + \sqrt{2\lambda} \sigma u, \quad g(0) = g_0,$$

$$J = \omega_2 \delta p_1 - \omega_1 \delta p_2 + g + 2\omega_0^2 \varepsilon + f_3,$$

$$i = 1, 2; \quad k, j = \overline{1, 3}, \quad (4)$$

где  $\omega_0 = (\mu/r^3)^{1/2}$  — частота Шулера;  $v_k$ ,  $k = 1, 3$  — инструментальные погрешности гироскопических измерителей;  $f_i$ ,  $i = 1, 3$  — инструментальные погрешности ньютонометров ( $i = 1, 2$ ) и гравиметра ( $i = 3$ );  $\varepsilon$  — инструментальная погрешность измерения глубины ГПА;  $q_1 = q_2 = 0$ ,  $q_3 = r$ ,  $\delta q_3 = \varepsilon$ ,  $p_1 = \omega_2 r$ ,  $p_2 = -\omega_1 r$ ,  $p_3 = 0$ ,  $r = 6\,371\,000$ . Следует отметить также, что компоненты вектора  $\alpha = (\alpha_1, \alpha_2)^T$  малого угла, на которой плоскость  $ou_1u_2$  отклоняется от горизонтального положения, определяются соотношениями:  $\alpha_1 = \delta q_2/r$ ,  $\alpha_2 = -\delta q_1/r$ .

Представление модели задачи в виде (4) ориентировано на реализацию калмановского алгоритма (фильтра) [4] оценивая ее вектора состояния.

С целью исследования гравиметрических возможностей рассматриваемой 2D-ИНС были проведены вычислительные эксперименты по реализации калмановского алгоритма. На рис. 1–4 проиллюстрированы результаты одного из них, выполненного для движения ГПА со скоростью  $v = 1$  m/s по параллели с широтой  $\varphi = 45^\circ$  в восточном направлении при следующих гипотезах о параметрах. Инструментальные погрешности инерциальных измерителей, т. е.  $f_i$  и  $v_i = \overline{1, 3}$ , и измерителя глубины (батиметра), т. е.  $\varepsilon$ , являются несмещенными белыми шумами, причем их среднеквадратические значения равны  $\sigma_{f_1} = \sigma_{f_2} = 10^{-3}$  m/s<sup>2</sup> — для

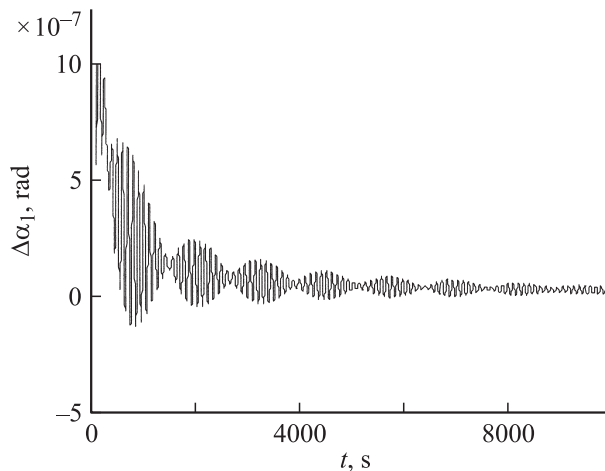


Рис. 1. График эволюции значения  $\Delta\alpha_1$ .

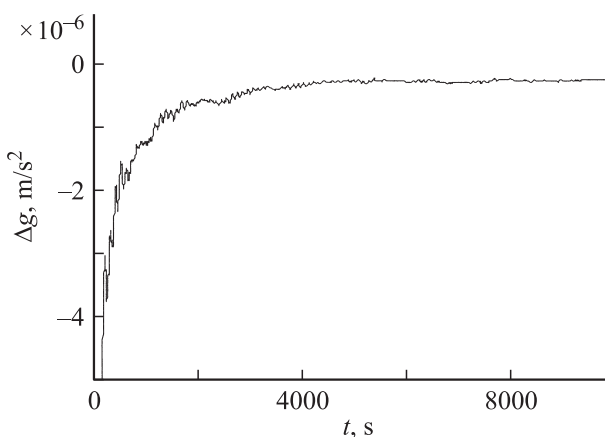


Рис. 2. То же, что на рис. 1, для  $\Delta g$ .

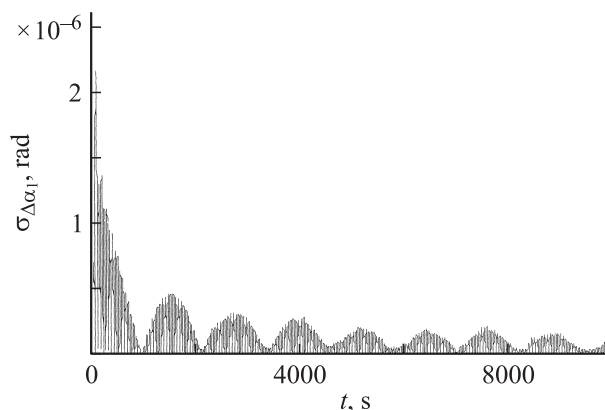
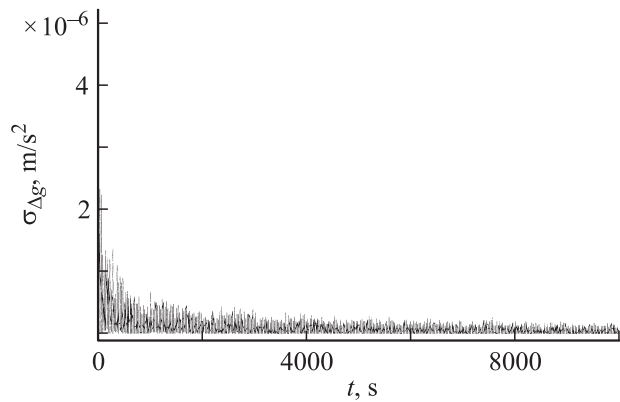


Рис. 3. То же, что на рис. 1, для  $\sigma_{\Delta\alpha_1}$ .

горизонтальных ньютонометров,  $\sigma_{f_3} = 10^{-6}$  m/s<sup>2</sup> — для всех трех гироскопов,  $\sigma_\varepsilon = 1$  m — для батиметра; кроме того,  $\delta q_1(0) = -\delta q_2(0) = 10$  m;  $\delta p_1(0) = -\delta p_2(0) = 0.1$  m/s;  $g(0) = 10^{-3}$  /s<sup>2</sup>.



**Рис. 4.** То же, что на рис. 1, для  $\sigma_{\Delta g}$ .

На рис. 1–4 через параметры  $\Delta\alpha_1$ ,  $\Delta g$  и  $\sigma_{\Delta\alpha}$ ,  $\sigma_{\Delta g}$  обозначены соответственно величины и среднеквадратические значения погрешностей оценки  $\alpha_1$  и  $g$ .

Графики на рисунках хорошо подтверждают теоретические ожидания, связанные с корректностью постановки задачи, и иллюстрируют возможность весьма высокой точности горизонтирования платформы и оценки аномалии GF-поля, а также убедительно свидетельствуют о прикладных перспективах и целесообразности развития предложенной интерпретации 2D-ИНС для глубоководных исследований с помощью ГПА.

## Список литературы

- [1] *Ишлинский А.Ю.* Классическая механика и силы инерции. М.: Наука, 1987. 320 с.
- [2] *Андреев В.Д.* Теория инерциальной навигации. Корректируемые системы. М.: Наука, 1967. 648 с.
- [3] *Девятисильный А.С., Числов К.А.* // Авиакосмическое приборостроение. 2007. № 11. С. 19–23.
- [4] *Kalman R.E., Falb P.L., Arbib M.A.* Topics in Mathematical System Theory. N.Y.: McGraw Hill, 1969.